

相対論的流体力学における 安定・高精度な数値手法

Based on arXiv:2306.12696

Speaker: 村瀬功一 (京大基研)

Nathan Touroux (阪大理、SUBATECH, 京大基研)

北沢正清 (阪大理、京大基研)

Marlene Nahrgang (SUBATECH)

熱場の量子論とその応用 (TQFT2023)、KEK、つくば

大自由度(場)・非線形・実時間発展

相対論的流体力学における 安定・高精度な数値手法

Based on arXiv:2306.12696

Speaker: 村瀬功一 (京大基研)

Nathan Touroux (阪大理、SUBATECH, 京大基研)

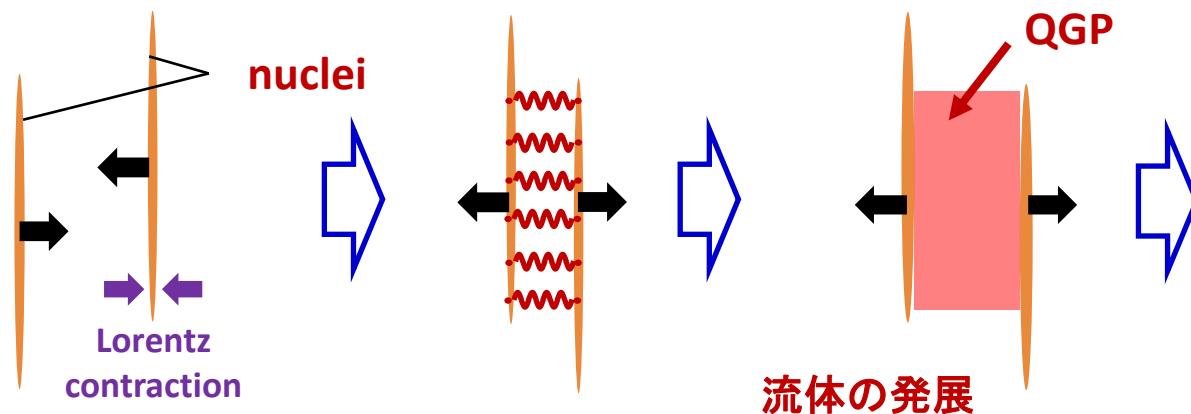
北沢正清 (阪大理、京大基研)

Marlene Nahrgang (SUBATECH)

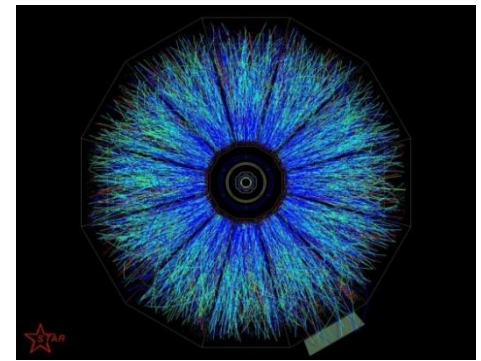
熱場の量子論とその応用 (TQFT2023)、KEK、つくば

相対論的流体力学の数値計算

高エネルギー重イオン衝突反応

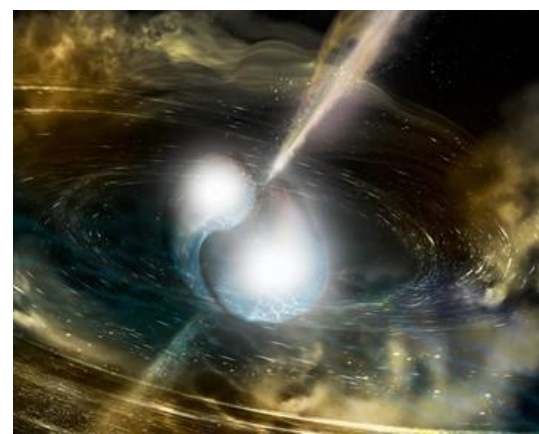


Hadrons



STAR Collaboration

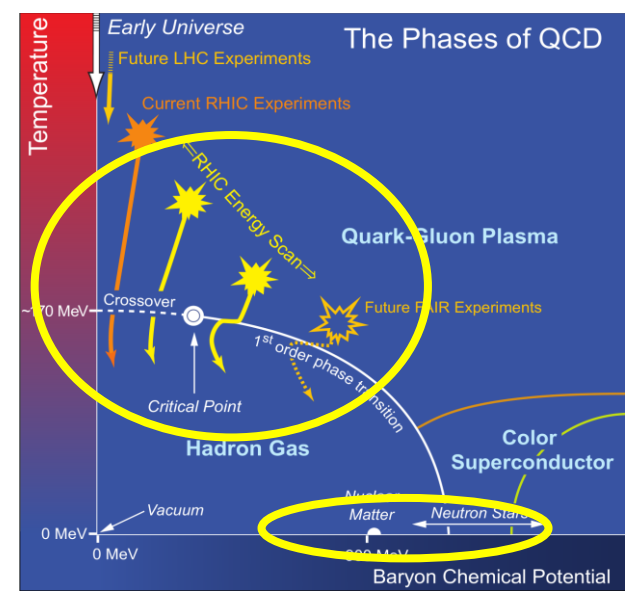
中性子星連星合体



想像図

数値相対論
= 計量 $g_{\mu\nu}$ の発展
+ 流体 $T^{\mu\nu}$ の発展

QCD相図(予想図)

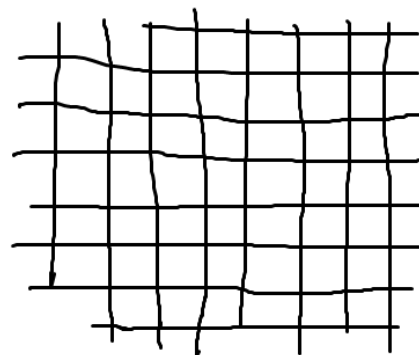
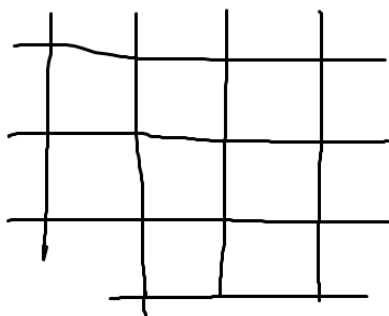


数値流体力学(CFD)の世界にようこそ(?)

計算効率と数値精度

数値計算のため時間・空間を離散化 → $\Delta t, \Delta x$

空間メッシュ Δx



CFL条件
 $\Delta t < c\Delta x$

計算量 $\sim O(1/\Delta x^3 \Delta t) > O(1/\Delta x^4)$

→ 離散化幅 Δx は計算効率に強い影響

動機・目標: できるだけ大きな Δx で計算量を抑えつつ $(\Delta x, \Delta t)$ に対する近似の次数を上げて計算したい
+ 計算の安定性。

空間高次化 & 時間高次化

空間高次化(空間再構築)

周囲のセルからセル内の流体場のプロファイルを再構築(有限体積法)

MUSCL, PPM, PRM, ENO, WENO, ...

線形補間
+minmod

2次補間
+minmod

有理関数
+minmod

複数の n 次補間
+選択 or 重み付け和

愚直な高次化 → 振動 (衝撃波や急激な物理量の変動で×)
→ Flux limiter (～あぶないとき自動で次数を下げる)

時間高次化 時間1ステップでステップ幅 Δt の高次まで一致させる

Euler法, TVDルンゲクッタ, 陰的ルンゲクッタ, ...

高次化: 解が時間的・空間的になめらかでない時 → ??

keywords: 線形安定性、全変動減少(TVD)、...

空間高次化 & 時間高次化

空間高次化(空間再構築)

周囲のセルからセル内の流体場のプロファイルを再構築(有限体積法)

MUSCL, PPM, PRM, ENO, WENO, ...

線形補間
+minmod

2次補間
+minmod

有理関数
+minmod

複数の n 次補間
+選択 or 重み付け和

愚直な高次化 → 振動 (衝撃波や急激な物理量の変動で×)
→ Flux limiter (~あぶないとき自動で次数を下げる)

時間高次化

時間1ステップでステップ幅 Δt の高次まで一致させる

Euler法, TVDルンゲクッタ, 陰的ルンゲクッタ, ...

高次化: 解が時間的・空間的になめらかでない時 → ??

keywords: 線形安定性、全変動減少(TVD)、...

本研究

陰解法と線形安定性

常微分方程式

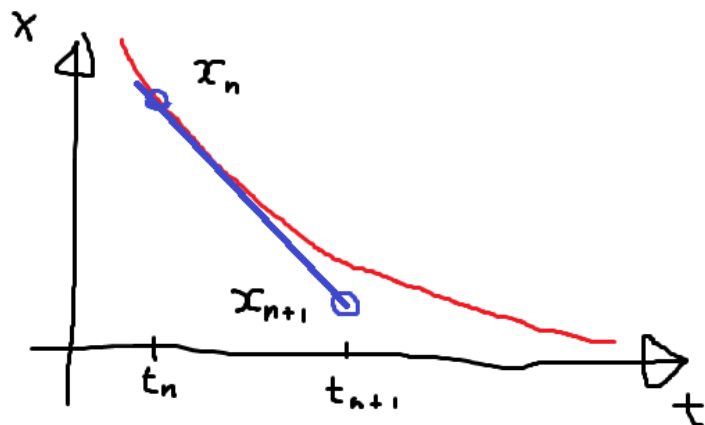
$$\dot{x} = f(x, t).$$

→線形化&対角化

$$\dot{x} = -\lambda x. \quad (\text{Dahlquist eq})$$

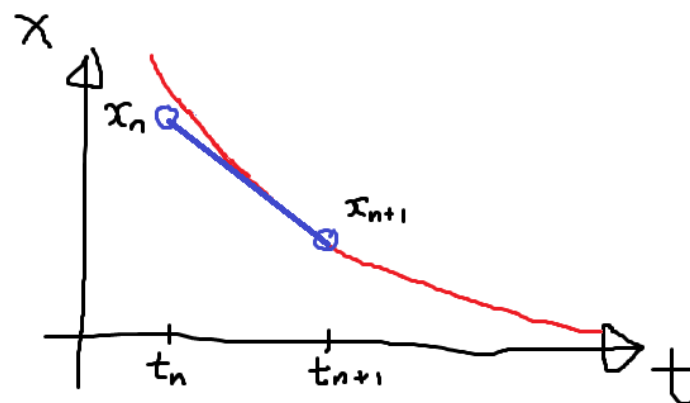
Euler法

$$x_{n+1} = x_n + \Delta t f(x_n)$$



陰的Euler法

$$x_{n+1} = x_n + \Delta t f(x_{n+1})$$



陰解法と線形安定性

常微分方程式

$$\dot{x} = f(x, t).$$

→線形化&対角化

$$\dot{x} = -\lambda x. \quad (\text{Dahlquist eq})$$

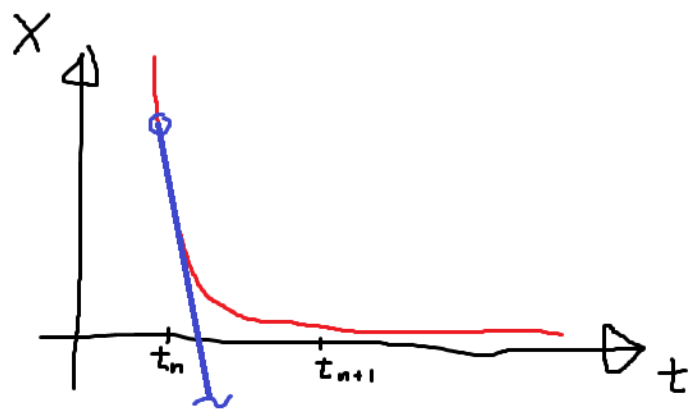
Euler法

陰的Euler法

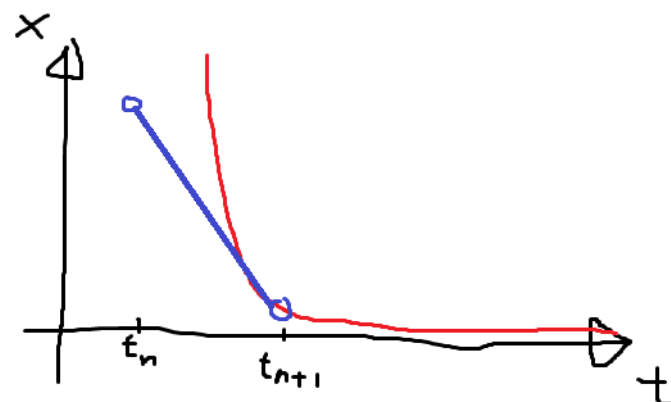
$$x_{n+1} = x_n + \Delta t f(x_n)$$

$$x_{n+1} = x_n + \Delta t f(x_{n+1})$$

硬い方程式(stiff equation) = λ_{\max} 大な方程式



陽解法は硬い方程式でX



陰解法は線形安定

アイデア

我々の手法(アイディア)

Implicit (陰解法)

vs

比較用: Explicit (陽解法)

1段Gauss-Legendre法(2次)

Heun法(2次)

$$k = f(x_n + (\Delta t/2)k),$$
$$x_{n+1} = x_n + \Delta tk.$$

$$k_1 = f(x_n),$$
$$k_2 = f(x_n + \Delta tk_1),$$
$$x_{n+1} = x_n + \Delta t(k_1 + k_2)/2.$$



遅い? → 2つのポイント

- ① k について解く必要がある (f は“流体方程式”)
→ **Fixed point 法**: 収束するまで逐次 k を代入し直す
(最初の k の guess として前ステップの k を再利用)
- ② 空間の領域によって収束の速さが著しく異なる
→ **早く収束した領域は逐次更新をスキップ**

※収束の速さは方程式の局所的な硬さに関係

収束判定 = 自動硬さ検出

数値精度&計算コストの検証

★比較: 数値計算結果 vs 既知の解析解 ← 定性的な確認
~ $\Delta x \rightarrow 0, \Delta t \rightarrow 0$

今回の解析解 = **Riemann問題** / **Gubser flow**

↓ 今回は時間離散化に着目するのでこちらを定量的に調べる

★比較: 数値計算結果 vs 小さな Δt の数値計算結果
~ Δx finite, $\Delta t \rightarrow 0$

“ $\Delta t \rightarrow 0$ の収束の具合”

数値精度の指標

$$\underline{\Delta_{\text{ref}}(\mathbf{x}_j)} = D(\epsilon_{\text{num}}(\mathbf{x}_j), \epsilon_{\text{ref}}(\mathbf{x}_j)). \quad \text{セル } \mathbf{x}_j \text{ 毎に求まる} \\ \rightarrow \text{max or 平均}$$

$$D(e_1, e_2) = \frac{e_1 - e_2}{\max(|e_1|, |e_2|)} \quad \text{相対差}$$

計算コストの指標

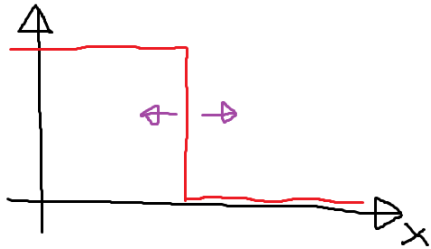
$$\underline{n_{\text{KT}}} = (\text{時間発展を通じたセルあたりの時間微分評価回数の平均}) \\ = (\text{時間発展右辺評価回数}) / (\text{セル数})$$

解析解1: Riemann 問題

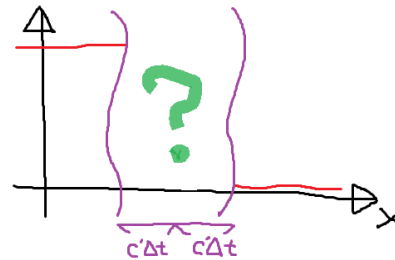
Lora-Clavijo, et al (2013)

= 一点で不連続な初期条件からの時間発展問題の総称 (衝撃波)

初期条件 ($t = 0$)

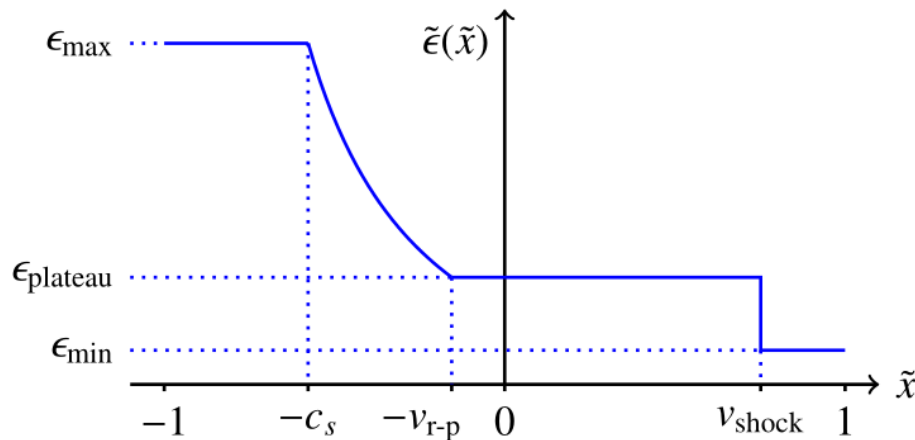


Δt 経過後?



方程式系、問題設定、近似などにより色々な種類あり

相対論的完全流体における解析解 (模式図) (状態方程式 $p=e/3$)



(解析的に式で書けるが省略)

縦軸 エネルギー密度

横軸 $x \sim = x/t$

※時間が立つと時刻に比例して横に広がっていく。

解析解2: Gubser flow

S. S. Gubser, PRD 82, 085027 (2010)

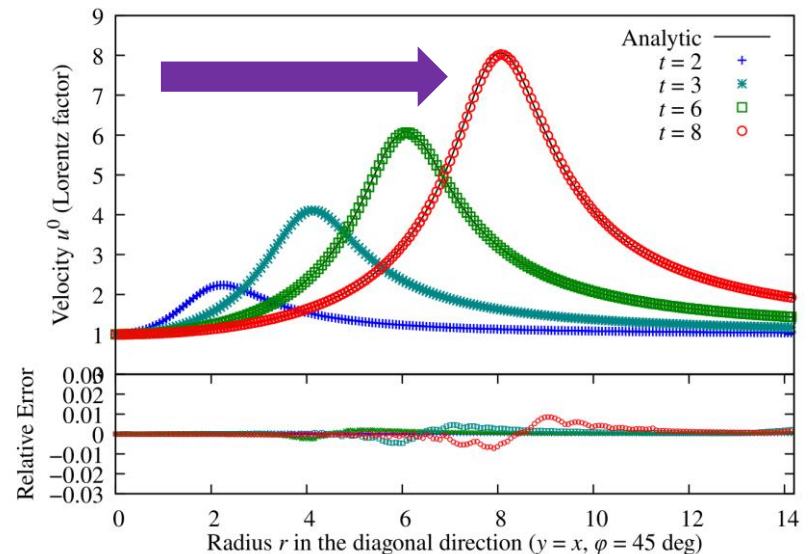
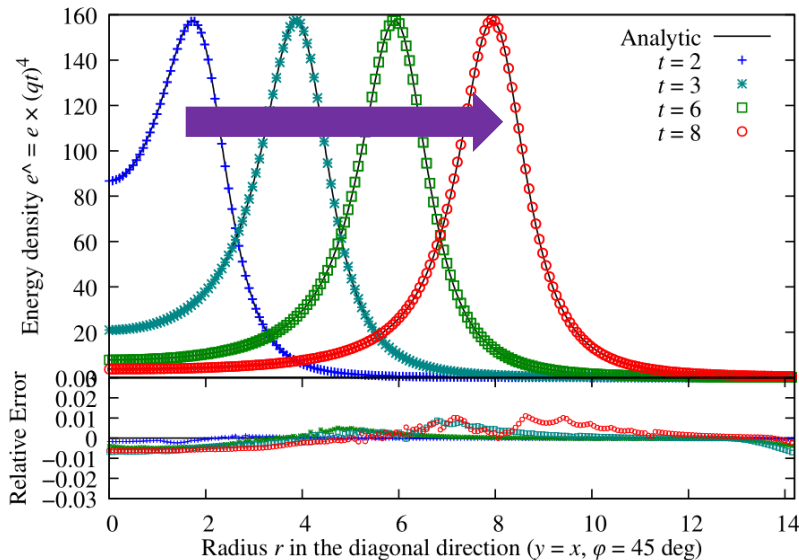
完全流体軸対称解: 座標 $r = \sqrt{x^2 + y^2}$, $\tau = \sqrt{t^2 - z^2}$

$$\epsilon(\tau, r) = \frac{\epsilon_0 (2q)^{8/3}}{\tau^{4/3} (1 + 2q^2(\tau^2 + r^2) + q^4(\tau^2 - r^2)^2)^{4/3}}, \quad \text{エネルギー密度}$$

$$k(\tau, r) = \tanh^{-1} \frac{2q^2 \tau r}{1 + q^2 \tau^2 + q^2 r^2} \quad \text{動径方向の flow rapidity} \\ (u^0 = \cosh k)$$

エネルギー密度 vs r の時間発展

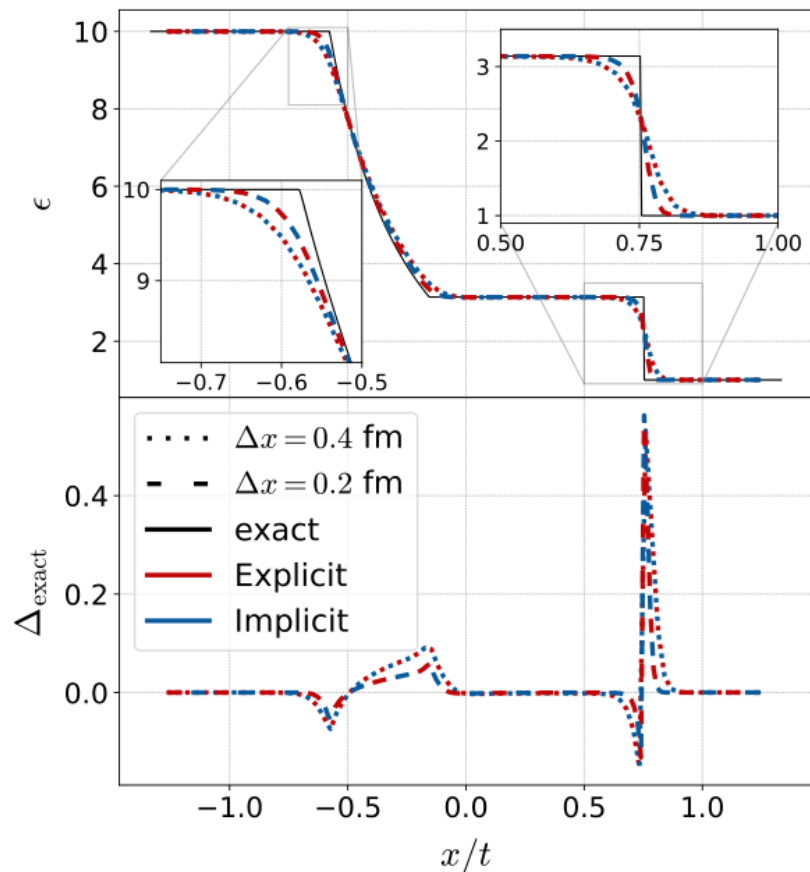
流速 u^0 (Lorentz factor) vs r の時間発展



結果

解析解1: Riemann 問題で比較

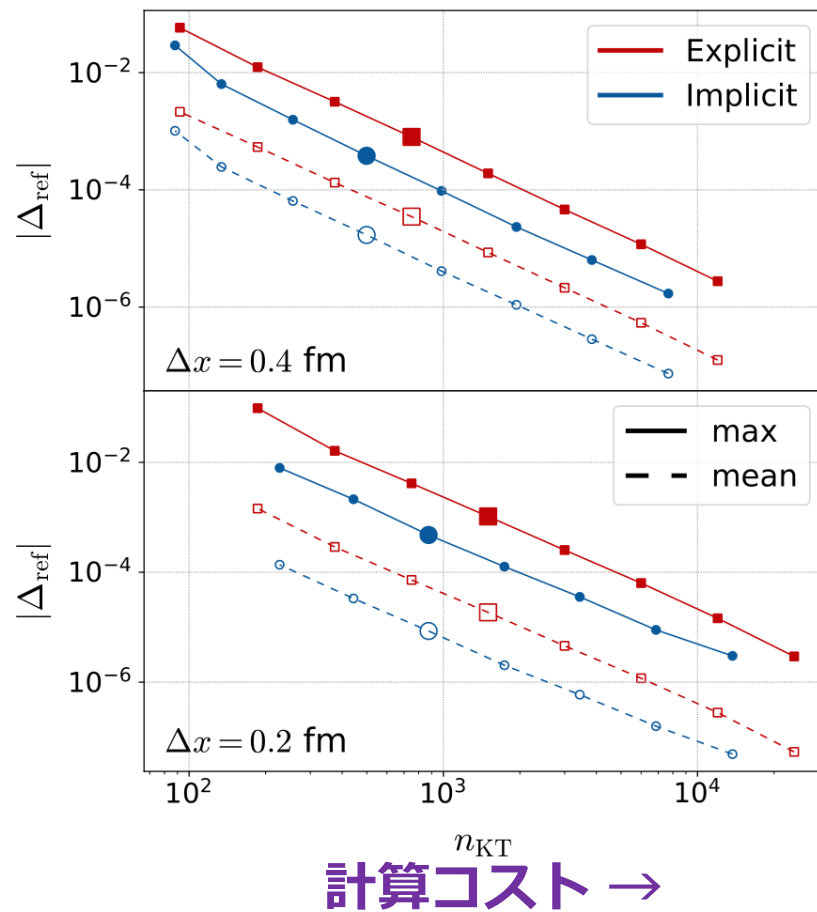
定性チェック(解析解と比較)



$t = 15 \text{ fm}$

衝撃波・不連続点近くで誤差大

数値精度&計算コスト

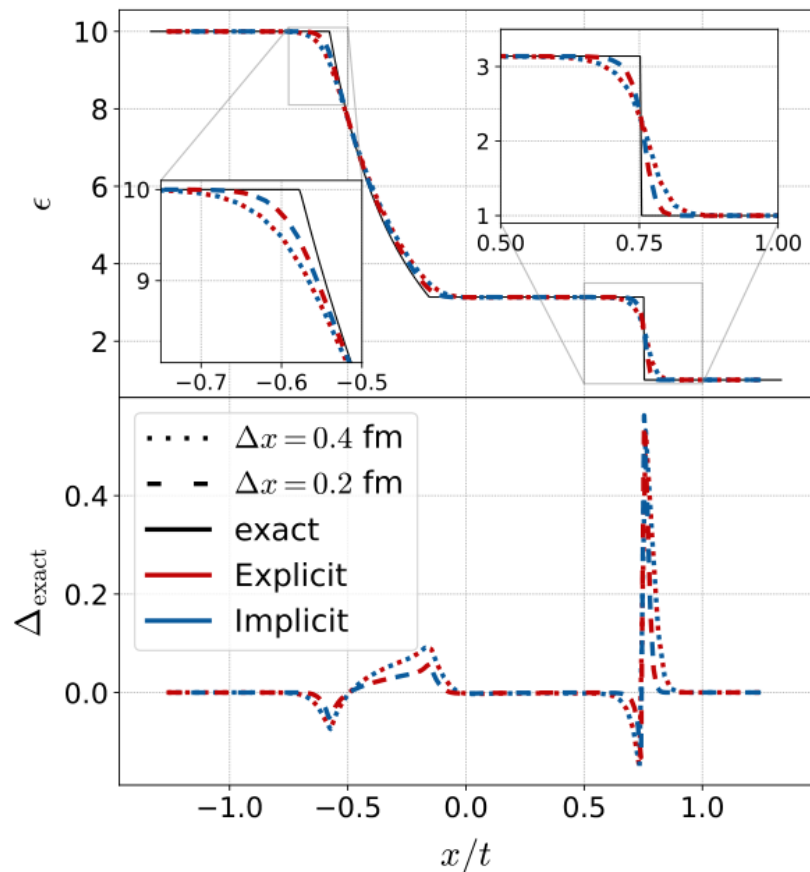


n_{KT}
計算コスト →

← 数値精度

解析解1: Riemann 問題で比較

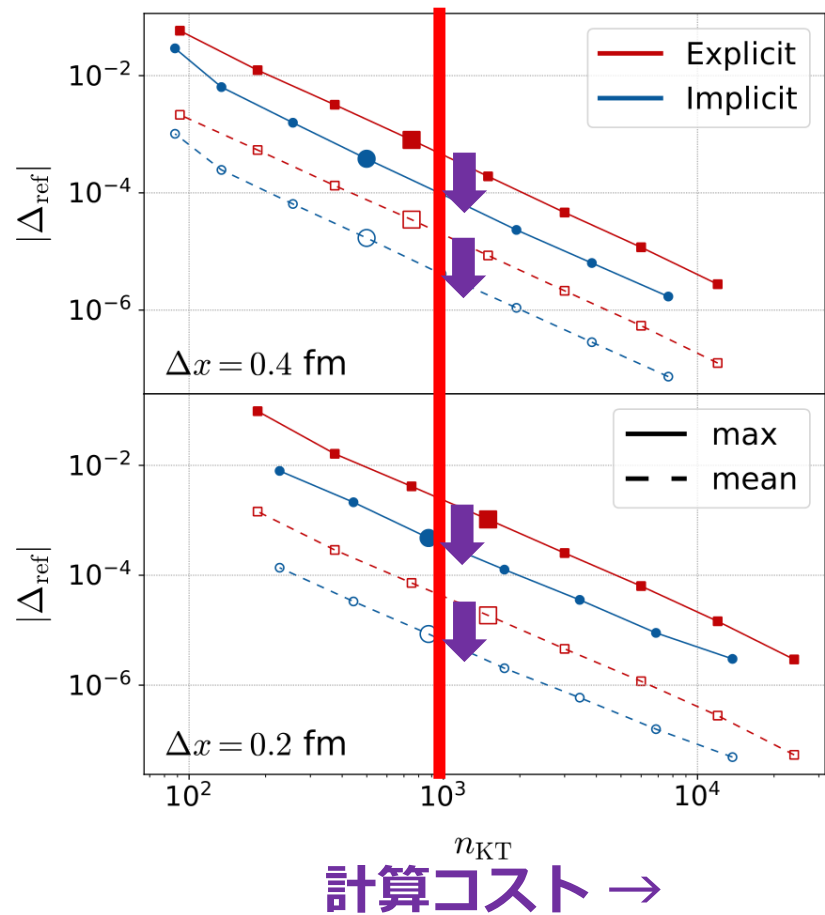
定性チェック(解析解と比較)



$t = 15$ fm

衝撃波・不連続点近くで誤差大

数値精度&計算コスト

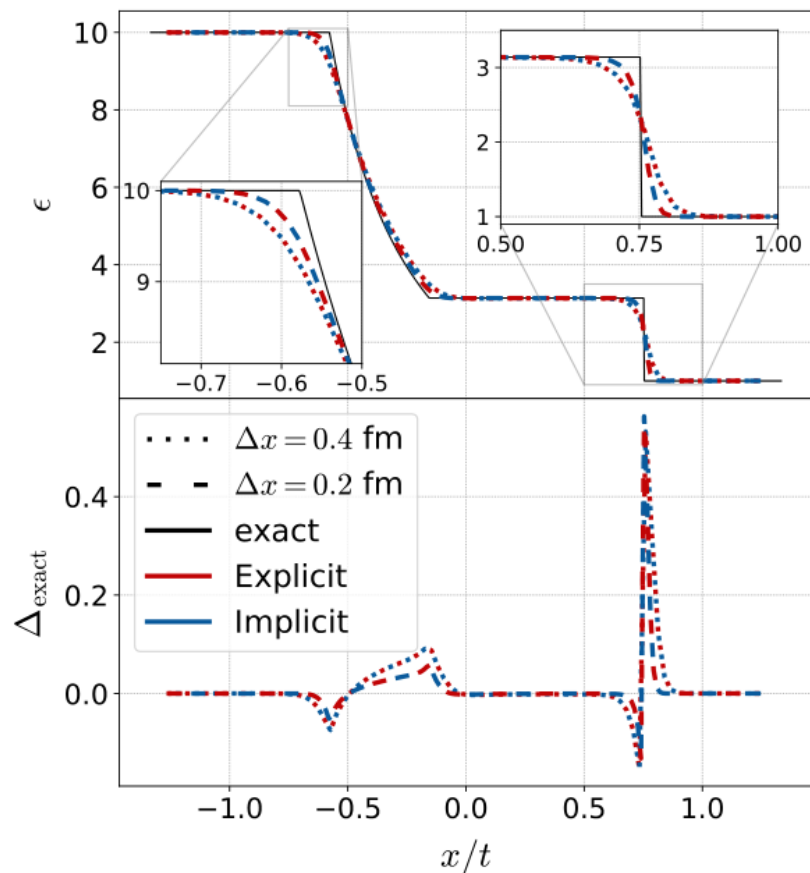


数値精度
↓

計算コスト →

解析解1: Riemann 問題で比較

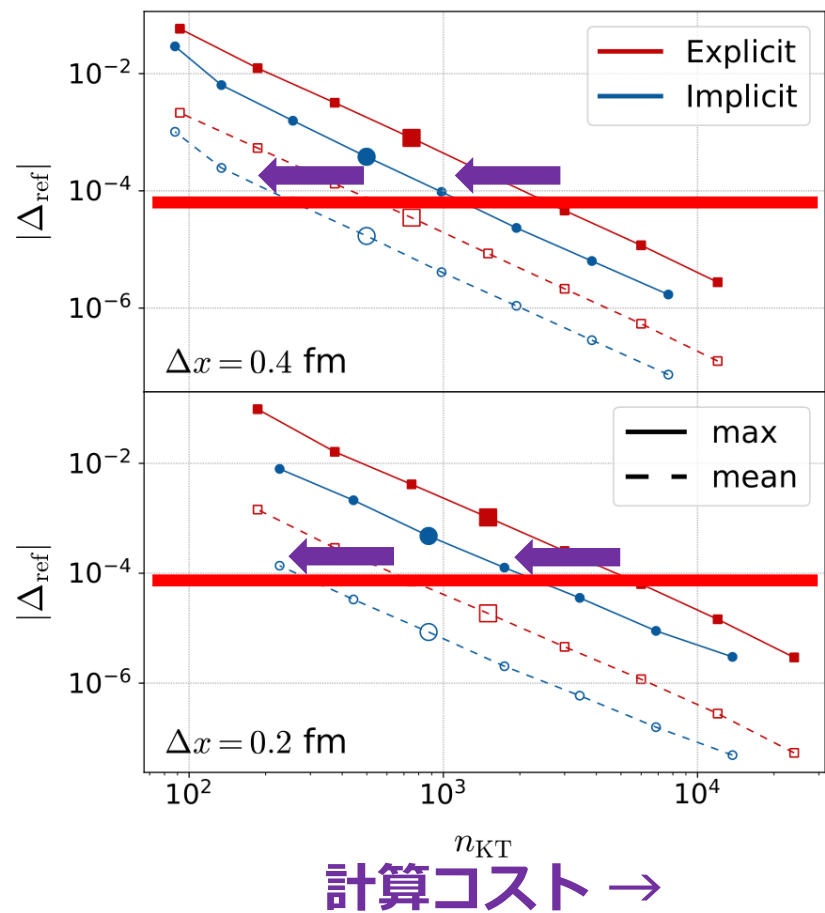
定性チェック(解析解と比較)



$t = 15 \text{ fm}$

衝撃波・不連続点近くで誤差大

数値精度&計算コスト



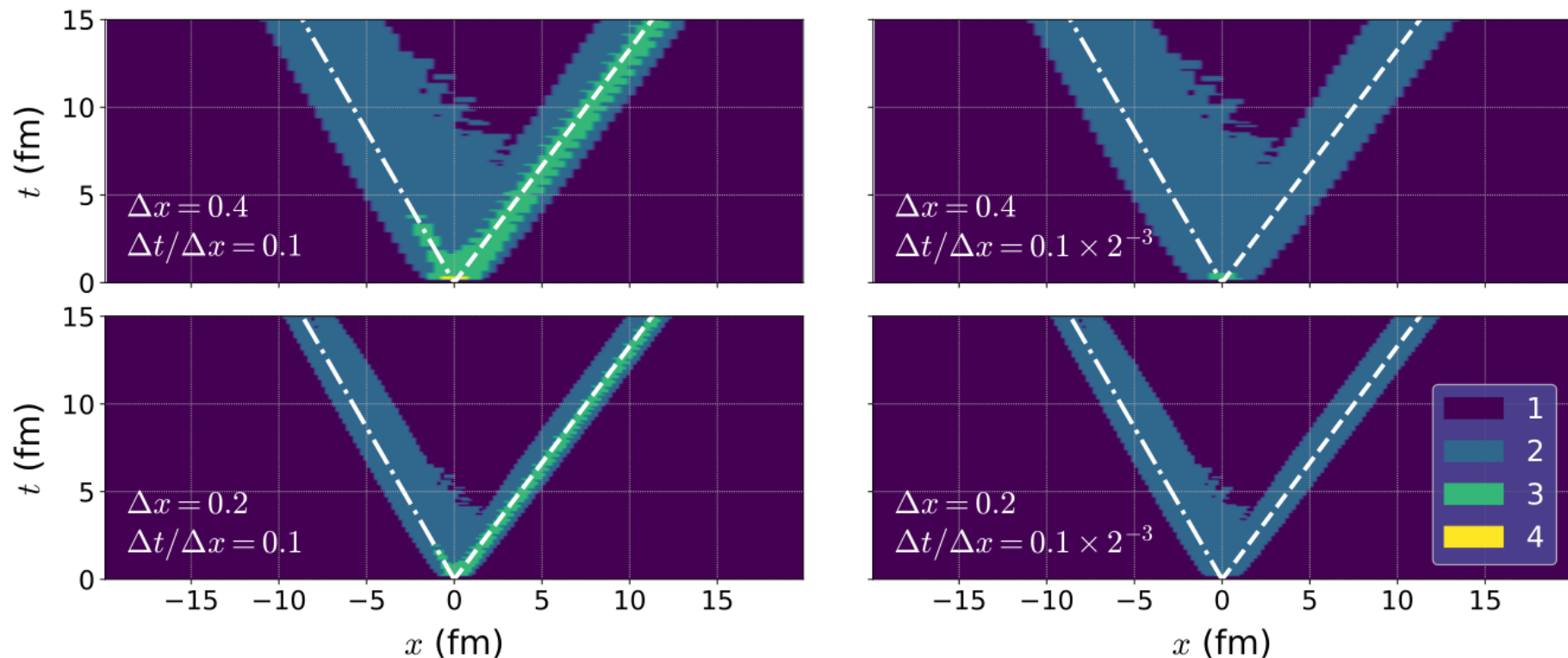
数値精度
←

計算コスト →

★陰解法の方がより速く
正確に解くことができた(※)

解析解1: Riemann 問題で比較

Fixed point 法の繰り返し回数空間分布

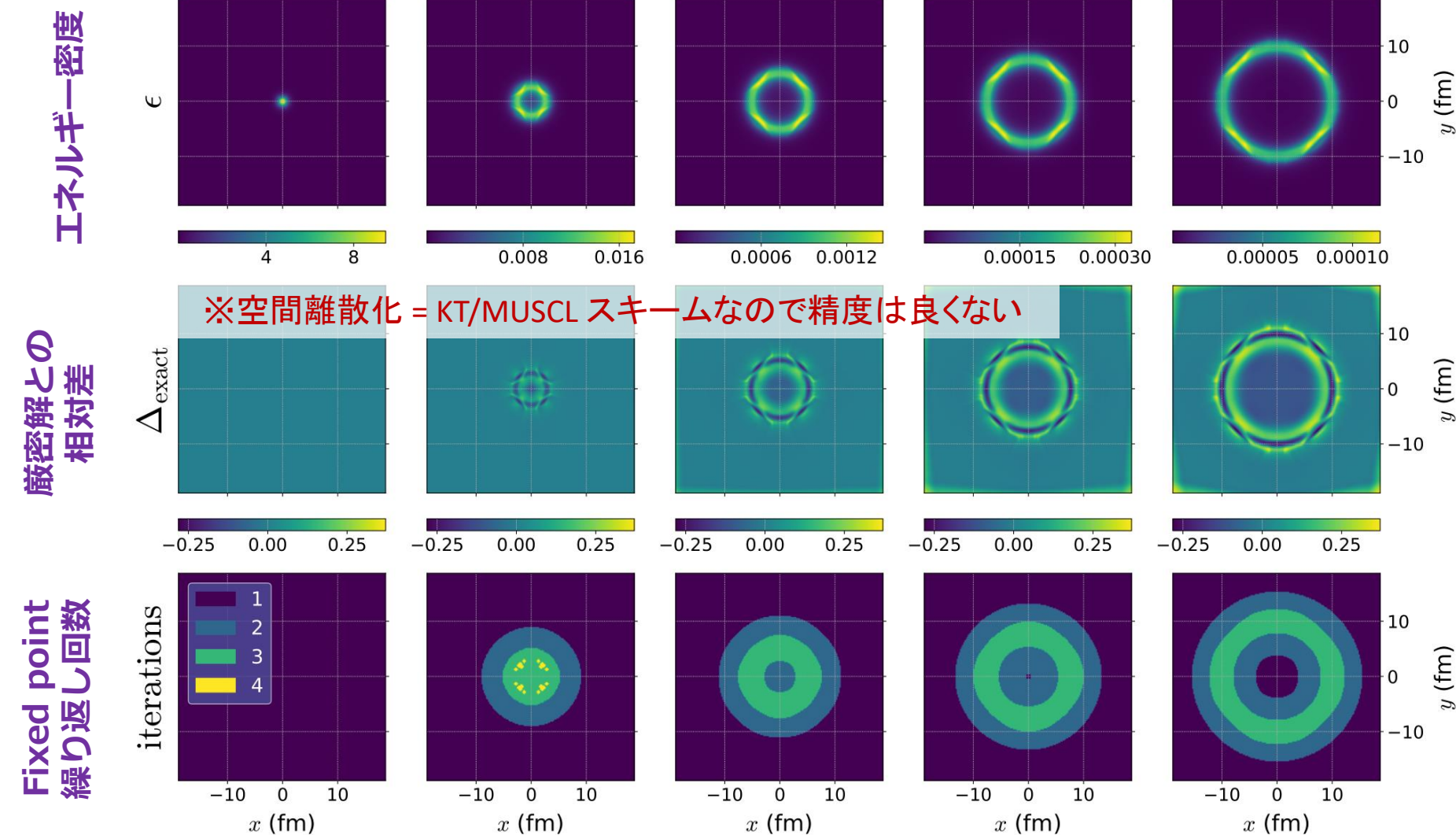


- ① 多くの場合、繰り返し回数 1 回で十分。
- ② 局所的に硬い部分で繰り返し回数が多くなる。

解析解2: Gubser flowで比較

x-y平面内

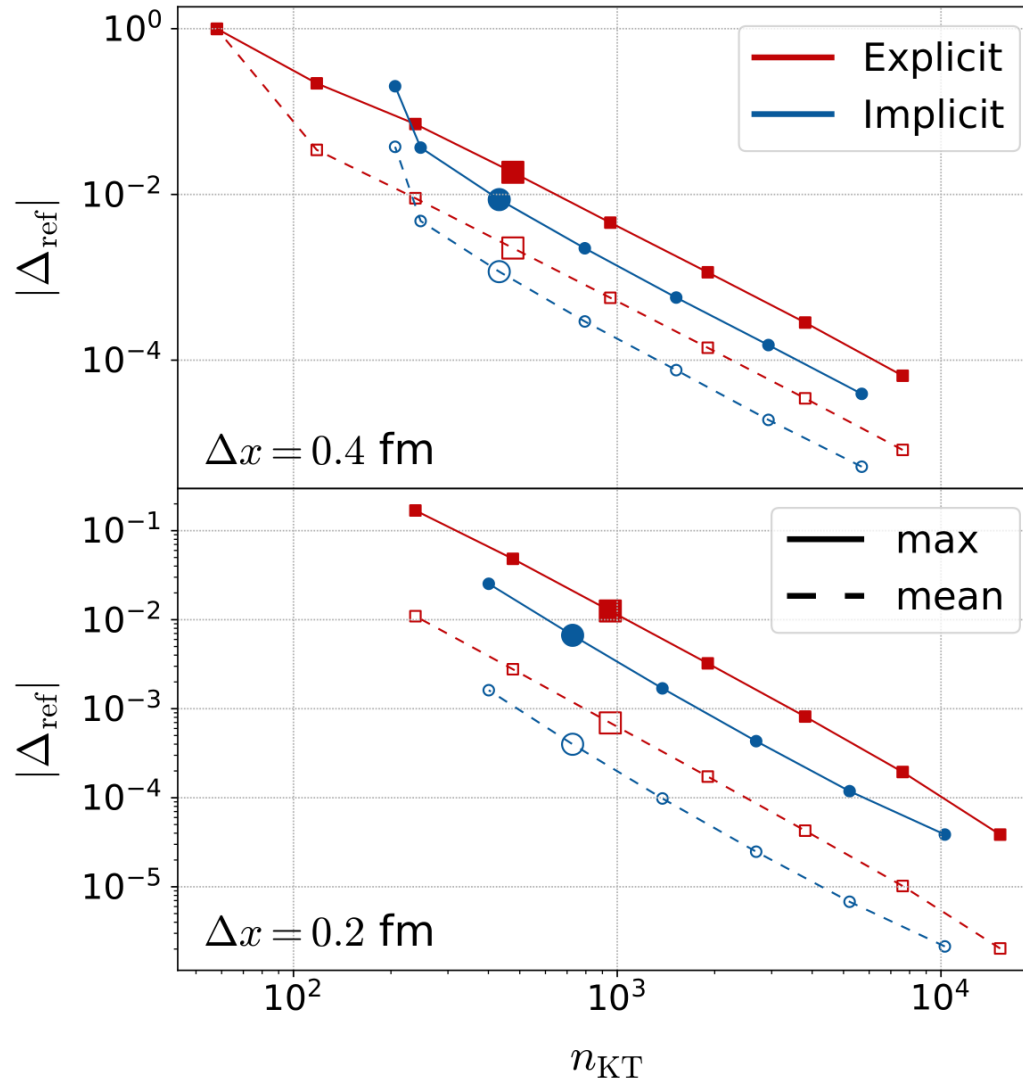
時間



→ ほとんどの所: fixed point 繰り返し数は 1 or 2. 危ない所で 3-4 回

解析解2: Gubser flowで比較

Riemann問題のときと同様の結果



まとめ

まとめ

背景: 相対論的流体力学 in 高エネルギー重イオン衝突

- 安定・高効率・高精度な数値計算が重要

空間の離散化と時間の離散化

- 時間陰解法 = 線形安定

手法: 陰解法(2次Gauss-Legendre法)と陽解法(Heun法)を相対論的完全流体に対して実装・比較

- Fixed point 法 (初期guessに前ステップの値を利用)
- 自動局所硬さ検出 (局所的にfixed point収束を判定)

→ 陰解法が陽解法より高精度・高速

今後: 粘性流体・測定量の解析

BACKUP

方程式系のまとめ(粘性)

保存則

$$\bar{\partial}_\mu T^{\mu\nu} = 0,$$
$$\bar{\partial}_\mu N_i^\mu = 0.$$

エネルギー—運動量保存

電荷保存

$\bar{\partial}_\mu$ 共変微分

状態方程式

$$P = P(e, n)$$

構成方程式 (例)

$$\tau_\Pi \bar{D}\Pi + \sigma_\Pi \theta \Pi + \Pi = -\zeta \theta + \xi_\Pi,$$
$$\tau_\pi \Delta^{\mu\nu}_{\alpha\beta} \bar{D}\pi^{\alpha\beta} + \sigma_\pi \theta \pi^{\mu\nu} + \pi^{\mu\nu} = 2\eta \sigma^{\mu\nu} + \xi_\pi^{\mu\nu},$$
$$\tau_{ij} \Delta^\mu_{\alpha} \bar{D}\nu_j^\alpha + \sigma_{ij} \theta \nu_j^\mu + \nu_i^\mu = \kappa_{ij} T \bar{\nabla}^\mu \frac{\mu_j}{T} + \xi_i^\mu.$$

2次緩和

Navier-Stokes

$$D = u^\mu \partial_\mu, \quad \text{物質微分}$$

$$\nabla^\mu = \Delta^{\mu\nu} \partial_\nu. \quad \text{空間微分}$$

離散化と曲がった 座標における保存則

保存則・拘束条件

経験上、**既知の拘束条件・etc.**を離散化誤差で破ってしまうとすぐに計算が破綻する

→基本的に既知の拘束条件はすべて保つようにする

相対論的流体が満たすべき条件

- 1 **保存則**: 保存密度の空間積分が時間変化しない
- 2 $T^{00} \geq 0$ **エネルギー密度は正**
- 3 T^{μ}_{ν} **固有値 (内部エネルギー+主応力3つ) が正**
- 4 $M_0^2 = g_{\mu\nu} T^{\mu 0} T^{\nu 0} \geq 0$ **流体は時間的 (静止質量)**
- 5 $\pi^{\mu\nu} u_{\nu} = 0, \nu_i^{\mu} u_{\mu} = 0$ **散逸流は空間的**

数値流体力学

離散化

連続の場は直接計算機で取り扱えないので有限自由度で表す。
空間を小さなマス目に分割してマス目上で場の値を定義。

保存スキーム

= 保存則に離散化誤差がないもの

$$\partial_{\mu} T^{\mu\nu} = 0, \partial_{\mu} N^{\mu} = 0$$

→ 有限体積法 (FVM) を使うことが多い



※各セルの中の保存電荷の総量

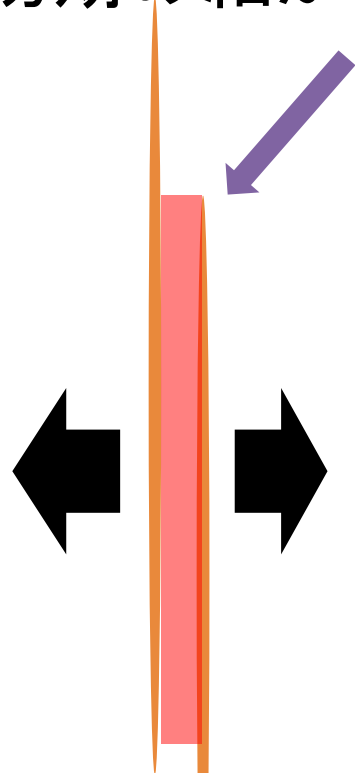
動的変数 = 保存量の分布

時間発展 = 保存量の移動

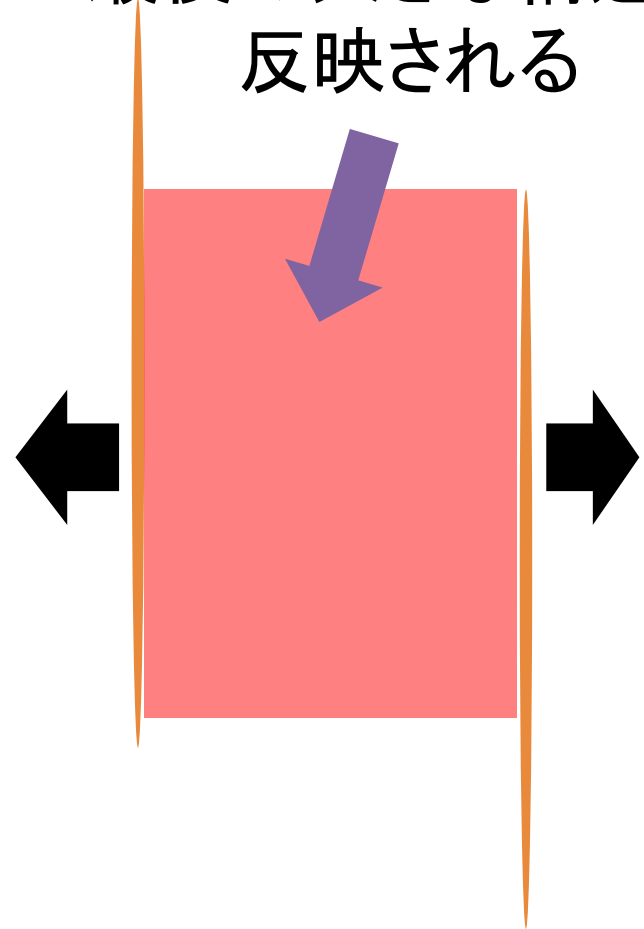
膨張座標系

高エネルギー原子核衝突反応における縦膨張

初期の細かい構造が



最後の大きな構造に
反映される



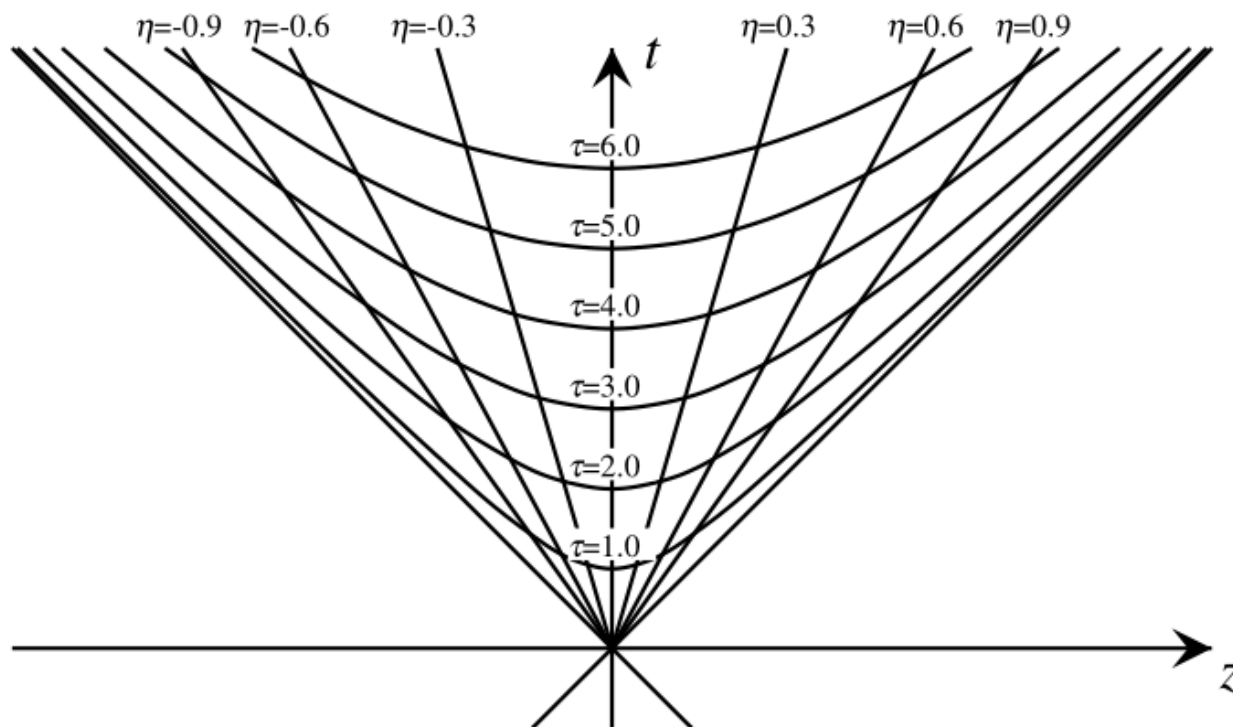
※原子核ローレンツ収縮
 $\gamma \sim 2700-3700$

膨張座標系

τ - η 座標系 ($\mathbf{R}^{1,1}$ Milne座標系 $\oplus\mathbf{R}^2$)

$$t = \tau \cosh \eta_s,$$
$$z = \tau \sinh \eta_s.$$

単なる膨張系ではなくこのように取る
物理的理由もあるが略



一般座標上の保存則

Minkowski座標での保存則 (flatな時空)

bar 添字 = Minkowski座標基底
bar なし添字 = 曲線座標の自然基底

$$\partial_{\bar{\alpha}} T^{\bar{\alpha}\bar{\beta}} = 0, \quad \partial_{\bar{\alpha}} N_i^{\bar{\alpha}} = 0.$$

divergence 型なのでFVMで厳密に保存させられる

任意の座標における保存則

$$0 = \bar{\partial}_{\mu} T^{\mu\nu} = \frac{1}{\sqrt{-g}} \partial_{\mu} (\sqrt{-g} T^{\mu\nu}) + \Gamma^{\nu}_{\xi\mu} T^{\mu\xi},$$

$$0 = \bar{\partial}_{\mu} N_i^{\mu} = \frac{1}{\sqrt{-g}} \partial_{\mu} (\sqrt{-g} N_i^{\mu}),$$

変な形!!

テンソル基底の変化分だけおつりの項が出てくる。

(縮約を取っている添字については

ヤコビアン $\sqrt{(-g)}$ に吸収させられる)

一般座標上の保存則

テンソル密度 (一般の座標変換性を考慮した共変量)

$$\mathfrak{T}^{\mu\nu}(x) \equiv \sqrt{-g}T^{\mu\nu} \quad \text{and} \quad \mathfrak{N}_i^\mu(x) \equiv \sqrt{-g}N_i^\mu$$



$$\partial_\mu \mathfrak{N}_i^\mu = 0. \quad \rightarrow \text{FVM OK!}$$

$$\partial_\mu \mathfrak{T}^{\mu\nu} + \Gamma^\nu_{\xi\mu} \mathfrak{T}^{\mu\xi} = 0, \quad \rightarrow ???$$

何がいけないのか?

一般座標上の保存則

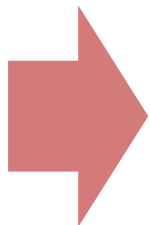
保存するエネルギー—運動量

そもそもの保存量はMinkowski座標での並進対称性に由来するエネルギー—運動量

$$\mathcal{P}^{\bar{\alpha}} = \int d^3x \mathcal{T}^{0\bar{\alpha}}$$

Minkowski座標系での保存量密度の各成分について、一般座標系での保存流を考える

$$\partial_{\mu} \mathcal{T}^{\mu\bar{\alpha}} = 0. \quad \text{OK?}$$




- × 原子核衝突の対称性 (現象のBoost invariance) を破る
- × 計算格子の端の方で $\gamma \sim 3000$ の分だけ保存量が無駄に大きくなり誤差が蓄積する

一般座標上の有限体積法

作戦

$$\partial_\mu \mathfrak{T}^{\mu\bar{\alpha}} = 0.$$

- (1) この段階で離散化をしてから、
- (2) その後で一般座標のテンソル密度で書き直し直す


$$\mathfrak{T}^{0\bar{\alpha}}(x + \hat{0}/2) = \mathfrak{T}^{0\bar{\alpha}}(x - \hat{0}/2) - \sum_i \frac{\Delta x^0}{\Delta x^i} [\mathfrak{T}^{i\bar{\alpha}}(x + \hat{i}/2) - \mathfrak{T}^{i\bar{\alpha}}(x - \hat{i}/2)].$$



一般座標の上での保存するFVMの公式

$$\mathfrak{T}^{0\mu}(x + \hat{0}/2) = \underline{g^\mu{}_\nu(x + \hat{0}/2; x)} [\underline{g^\nu{}_\xi(x; x - \hat{0}/2)} \mathfrak{T}^{0\xi}(x - \hat{0}/2) - \frac{1}{\Delta V} \sum_i \Delta x^0 \Delta S_i (\underline{g^\nu{}_\xi(x; x + \hat{i}/2)} \mathfrak{T}^{i\xi}(x + \hat{i}/2) - \underline{g^\nu{}_\xi(x; x - \hat{i}/2)} \mathfrak{T}^{i\xi}(x - \hat{i}/2))],$$

$$g^\mu{}_\nu(x; y) \equiv g^\mu{}_{\bar{\alpha}}(x) g^{\bar{\alpha}}{}_\nu(y)$$

$y \rightarrow x$ のベクトルの平行移動
時空が歪んでいる場合にも自然に適用可能

一般座標上の有限体積法

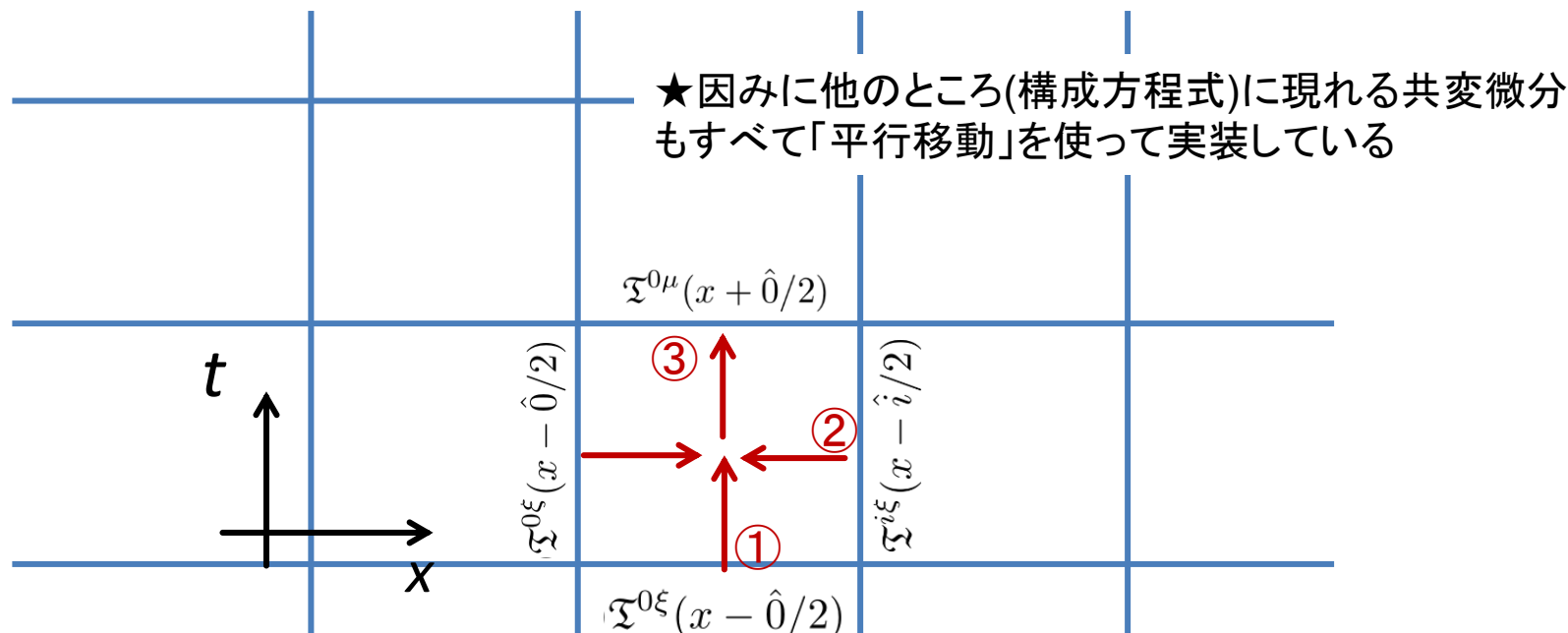
一般座標の上での保存するFVMの公式

$$\mathfrak{T}^{0\mu}(x + \hat{0}/2) \stackrel{\textcircled{3}}{=} \underline{g^{\mu\nu}(x + \hat{0}/2; x)} [\underline{g^{\nu\xi}(x; x - \hat{0}/2)} \mathfrak{T}^{0\xi}(x - \hat{0}/2) \stackrel{\textcircled{1}}{-} \frac{1}{\Delta V} \sum_i \Delta x^0 \Delta S_i (\underline{g^{\nu\xi}(x; x + \hat{i}/2)} \mathfrak{T}^{i\xi}(x + \hat{i}/2) - \underline{g^{\nu\xi}(x; x - \hat{i}/2)} \mathfrak{T}^{i\xi}(x - \hat{i}/2))] \stackrel{\textcircled{2}}{+}$$

$$g^{\mu\nu}(x; y) \equiv g^{\mu\bar{\alpha}}(x) g^{\bar{\alpha}\nu}(y)$$

$y \rightarrow x$ のベクトルの平行移動

時空が歪んでいる場合にも自然に適用可能



散逸流の直交性

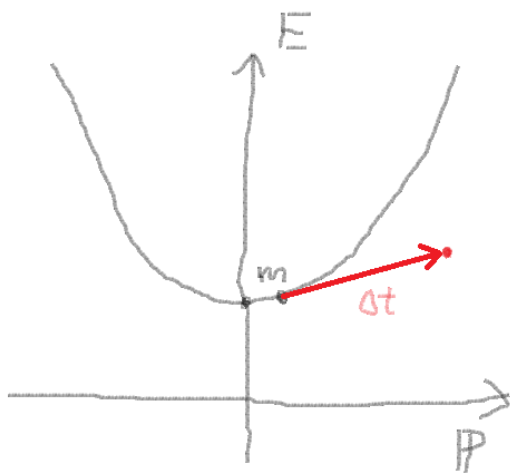
散逸流と流速の直交性

$$\pi^{\mu\nu} u_\nu = 0, \quad \nu_i^\mu u_\mu = 0 \quad \text{拘束条件}$$

微分形の方程式はもちろんこれを保持する。
しかし時間方向に離散化すると崩れてしまう。

もっと簡単な例: 相対論的粒子の運動

$$\frac{dp^\mu}{d\tau} = \gamma F^\mu \quad p^2 = m^2 \quad \text{拘束条件}$$



Euler 法で有限の時間幅だけ進むと確実に曲面の外に出てしまう

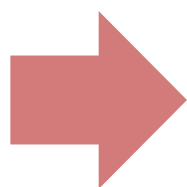
(A) はみ出た後に射影する作戦。
射影 = 一番近い点に移す
→ どうやって”距離”を定義する?

(B) 初めから曲面上のパラメータについての運動方程式を考える

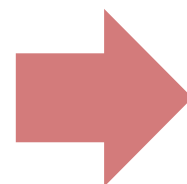
散逸流の表現

局所静止系で見ると

$$u^I = \begin{pmatrix} 1 \\ \mathbf{0} \end{pmatrix} \quad \pi^{\mu\nu} u_\nu = 0, \quad \nu_i^\mu u_\mu = 0$$



$$\nu_i^I = \begin{pmatrix} 0 \\ \hat{\nu}_i \end{pmatrix} \quad \pi^{IJ} = \begin{pmatrix} 0 & 0 \\ 0 & \hat{\pi} \end{pmatrix}$$



局所静止系(ガリレイ系)のテンソル基底で表現すれば良い!
※局所静止系の基底をとると言っても
局所静止系におけるSO(3)回転の自由度は残っている

局所静止系の基底の構成

①座標の自然基底を正規直交化

$$e^\mu_{\tilde{a}} = \text{diag}(1, 1/\tau, 1, 1),$$
$$e^{\tilde{a}}_{\mu} = \text{diag}(1, \tau, 1, 1).$$

②流速の方向にBoost (回転せずに一回のBoostで移る)

$$e^I_{\tilde{a}} = \begin{pmatrix} \tilde{u}^0 & -\tilde{\mathbf{u}}^T \\ -\tilde{\mathbf{u}} & 1 + \frac{\tilde{\mathbf{u}}\tilde{\mathbf{u}}^T}{1+\tilde{u}^0} \end{pmatrix},$$
$$e^{\tilde{a}}_I = \begin{pmatrix} \tilde{u}^0 & \tilde{\mathbf{u}}^T \\ \tilde{\mathbf{u}} & 1 + \frac{\tilde{\mathbf{u}}\tilde{\mathbf{u}}^T}{1+\tilde{u}^0} \end{pmatrix},$$

接続の計算

変なテンソル基底を取っているので共変微分が滅茶苦茶になる。

→ 接続係数を計算する。

$$\Gamma^{\tilde{a}}_{\tilde{b}\tilde{c}} = e^{\tilde{a}}_{\mu} \partial_{\tilde{c}} e^{\mu}_{\tilde{b}} + e^{\tilde{a}}_{\mu} e^{\nu}_{\tilde{b}} e^{\xi}_{\tilde{c}} \Gamma^{\mu}_{\nu\xi},$$

$$\Gamma^{\tilde{a}}_{\tilde{b}\tilde{c}} = \left[\begin{pmatrix} 0 & \tilde{\mathbf{\Gamma}}_{\tilde{c}}^{\text{T}} \\ \tilde{\mathbf{\Gamma}}_{\tilde{c}} & (\tilde{\Omega}_{\tilde{c}})_{[ij]} \end{pmatrix} \right]_{\tilde{b}}^{\tilde{a}}$$

$$\Gamma^I_{JK} = \begin{pmatrix} 0 & \hat{\mathbf{\Gamma}}_K^{\text{T}} \\ \hat{\mathbf{\Gamma}}_K & \hat{\Omega}_K \end{pmatrix},$$

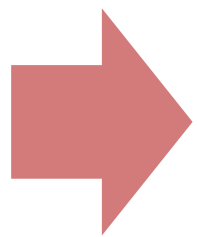
$$\hat{\mathbf{\Gamma}}_K \equiv -\frac{\partial_K \tilde{u}^0 + \tilde{\mathbf{\Gamma}}_K \cdot \tilde{\mathbf{u}}}{1 + \tilde{u}^0} \tilde{\mathbf{u}} + \partial_K \tilde{\mathbf{u}} + \tilde{u}^0 \tilde{\mathbf{\Gamma}}_K + \tilde{\Omega}_K \tilde{\mathbf{u}},$$

$$\hat{\Omega}_K \equiv \tilde{\Omega}_K + \left(\frac{\partial_K \tilde{\mathbf{u}} + \tilde{\Omega}_K \tilde{\mathbf{u}}}{1 + \tilde{u}^0} + \tilde{\mathbf{\Gamma}}_K \right) \tilde{\mathbf{u}}^{\text{T}} - \tilde{\mathbf{u}} \left(\frac{\partial_K \tilde{\mathbf{u}} + \tilde{\Omega}_K \tilde{\mathbf{u}}}{1 + \tilde{u}^0} + \tilde{\mathbf{\Gamma}}_K \right)^{\text{T}}$$

構成方程式

構成方程式の本質的構造

$$\begin{aligned}\Delta^I{}_K \bar{D} \nu_i^K &= Y_i^J, \\ \Delta^{IJ}{}_{KL} \bar{D} \pi^{KL} &= Y^{IJ},\end{aligned}$$



$$\begin{aligned}D\pi^{KL} &= -\hat{\Omega}^I{}_{Ku} \pi^{KJ} - \hat{\Omega}^J{}_{Lu} \pi^{IL} + Y^{IJ}, \\ D\nu_i^K &= -\hat{\Omega}^I{}_{Ju} \nu_i^J + Y_i^J.\end{aligned}$$

$$\hat{\Omega}^I{}_{Ju} = \begin{pmatrix} 0 & 0 & 0 & 0 \\ 0 & 0 & a^3 & -a^2 \\ 0 & -a^2 & 0 & a^1 \\ 0 & a^3 & -a^1 & 0 \end{pmatrix},$$

$$\mathbf{a} \equiv \tilde{\Omega}_u^* + \left(\frac{D\tilde{\mathbf{u}} + \tilde{\Omega}_u^* \times \tilde{\mathbf{u}}}{1 + \tilde{u}^0} + \tilde{\Gamma}_u \right) \times \tilde{\mathbf{u}}$$

回転速度 a に伴う
コリオリ力的な力

高エネルギー重イオン衝突実験

目的

- QGP などのQCD物質の平衡の性質
 - 状態方程式、粘性・拡散係数などの輸送係数
 - 臨界点、一次相転移、...
- ジェット(高エネルギー粒子)
 - エネルギー損失の仕方
- ハドロンの性質
 - ハドロン間相互作用、物質中での性質の変化
- ...
- 衝突反応自体のダイナミクスの理解
 - 初期状態
 - ハドロン化

Xe+Xe衝突 (5.44 TeV) の様子 (3D)

研究: 原子核の変形の効果と熱ゆらぎ

各設定4000事象の計算

- 変形/球形 Xe+Xe
- 流体ゆらぎあり/なし



アニメーションは変形&流体ゆらぎあり

